

## 2.3. Quaternions

### 2.3-1 Interpretação da Multiplicação de Números Complexos

A multiplicação de uma variável complexa por um número complexo de módulo unitário,  $e^{i\theta}$ , representa uma rotação dessa variável no plano complexo. De fato, seja tal variável representada por  $z = z_0 e^{i\varphi}$ , Logo,  $e^{i\theta} z_0 e^{i\varphi} = z_0 e^{i(\theta+\varphi)}$ . Ou seja,  $z$  girou “ $\theta$ ” no plano complexo. Poderíamos também ter escrito tal rotação da forma

$$e^{i\theta/2} z e^{i\theta/2}$$

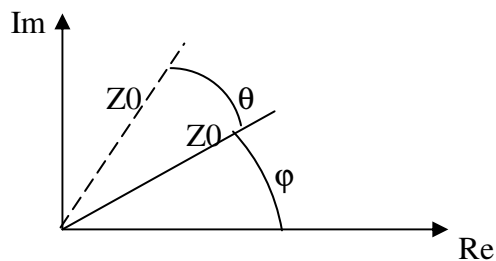


Figura 2.6. Multiplicação de um complexo por outro de módulo unitário.

Esta forma será utilizada na extensão de números complexos a quaternions.

Note que representamos a rotação da variável  $z$  em torno de um eixo perpendicular ao plano complexo. Se associarmos um vetor de componentes  $z_0 \cos \varphi$  e  $z_0 \sin \varphi$ , a multiplicação de  $e^{i\theta}$  por  $z$  pode ser associada a uma rotação desse vetor de um ângulo  $\theta$  no plano.

### 2.3-2. Quaternions: Definições e Propriedades

Analogamente ao procedimento anterior, para representarmos uma rotação no espaço tridimensional, necessitamos de um número hipercomplexo de módulo unitário. Tal número é conhecido como quaternion, e é representado por:

$$q = q_1 + iq_2 + jq_3 + kq_4;$$

Onde os complexos  $i, j, k$  possuem as seguintes propriedades:

- 1)  $i^2 = j^2 = k^2 = -1$
- 2)  $ij = k; jk = i; ki = j; ji = -k; kj = -i; ik = -j$

Chamamos  $q_1$  de parte “escalar”,  $S(q)$ , e  $iq_2 + jq_3 + kq_4$  de parte “vetorial” do quaternion,  $V(q)$ . De fato, podemos associar aos complexos  $i, j, k$  os versores de um sistema tridimensional e positivo, conforme a propriedade 2) acima.

A adição de 2 quaternions:

$$q = q_1 + iq_2 + jq_3 + kq_4$$

$$q' = q'_1 + iq'_2 + jq'_3 + kq'_4$$

é calculada por:

$$q + q' \equiv (q_1 + q'_1) + i(q_2 + q'_2) + j(q_3 + q'_3) + k(q_4 + q'_4)$$

E o seu produto é dado por:

$$\begin{aligned} q \cdot q' &= (q_1 + iq_2 + jq_3 + kq_4)(q'_1 + iq'_2 + jq'_3 + kq'_4) = \\ &= q_1 \cdot q'_1 - (q_2 \cdot q'_2 + q_3 \cdot q'_3 + q_4 \cdot q'_4) + \\ &+ \begin{vmatrix} i & j & k \\ q_2 & q_3 & q_4 \\ q'_2 & q'_3 & q'_4 \end{vmatrix} + \\ &+ i(q_1 q'_2 + q'_1 q_2) + j(q_1 q'_3 + q'_1 q_3) + k(q_1 q'_4 + q'_1 q_4) \end{aligned}$$

Note que, se pode associar o segundo termo ao produto escalar das partes vetoriais com o sinal trocado, e o terceiro termo representa o produto vetorial dos mesmos. De fato, estes seriam os únicos termos se as partes escalares forem nulas.

$$(q_1 = q'_1 = 0)$$

A partir das propriedades e resultados anteriores, pode-se mostrar que, para quaternions  $p, q$  e  $r$ , valem as propriedades associativa e distributiva abaixo:

- a)  $(pq)r = p(qr)$ ;
- b)  $p(q+r) = pq + pr$

Também se pode mostrar, com relação à propriedade comutativa em relação à multiplicação, que esta só vale para quaternions com partes vetoriais nulas ou linearmente dependentes. Ou seja:

$$c) pq = qp \text{ se e só se } V(p) = 0 \text{ ou } V(q) = 0, \text{ ou } V(p) = \alpha V(q).$$

Utiliza-se, com frequência, nas aplicações, os conceitos de norma e conjugado de um quaternion. Estes são definidos por:

Conjugado de  $q$ :  $C(q) = q_1 - iq_2 - jq_3 - kq_4$

Norma de  $q$  :  $N(q) = q.C(q) = q_1^2 + q_2^2 + q_3^2 + q_4^2$

Com relação a estes últimos, novas propriedades podem ser demonstradas:

$$d) C(qr) = C(r)C(q)$$

$$e) N(qr) = N(q)N(r)$$

A partir da definição de norma, podemos definir o inverso de um quaternion:

$$q^{-1} = \frac{C(q)}{N(q)}$$

onde, supõe-se que  $N(q)$  é diferente de zero. Note que  $N(q)N(q^{-1}) = 1$ .

Finalmente, analogamente à representação trigonométrica de números complexos, pode-se expressar o quaternion também por :

$$q = q_0 (\cos \theta + e \sin \theta)$$

$$q_0 = \sqrt{q_1^2 + q_2^2 + q_3^2 + q_4^2} = \sqrt{N(q)}$$

$$\cos \theta = q_1 / q_0;$$

$$\sin \theta = \pm \frac{\sqrt{q_2^2 + q_3^2 + q_4^2}}{q_0}$$

$$e = \pm \frac{q_2i + q_3j + q_4k}{\sqrt{q_2^2 + q_3^2 + q_4^2}}$$

### 2.3-3 Quaternions e a Rotação no Espaço

A rotação de um vetor no espaço, em torno de um determinado eixo, pode ser obtida através de uma operação com quaternions. Sejam  $r$  e  $q$  dois quaternions. Pode-se "girar"  $V(r)$  em torno de  $V(q)$  através da operação:

$$q.r.q^{-1}$$

Vamos mostrar que essa operação é obtida com o operador acima.

O novo quaternion,  $r' = q.r.inv(q)$ , possui a mesma parte escalar e a mesma norma de  $r$ . Somente sua parte vetorial muda de direção. Isto é fácil de verificar:

$$N(r') = N(q) \cdot N(r) \cdot (1/N(q)) = N(r)$$

Seja  $S(r')$  a parte escalar. Então:

$$S(r') = S(q \cdot r \cdot \text{inv}(q)) = S(q \cdot \text{inv}(q) \cdot r) = S(r)$$

De início, mostremos um caso particular, e mais simples, dessa operação. Seja  $r = \sqrt{N(r)}e$ . Formemos o triedro  $\mathbf{i}, \mathbf{j}, \mathbf{k}$  a partir da parte vetorial de  $q$  e  $r$ , conforme a figura 2.7. Portanto,  $\mathbf{k}$  é ortogonal a este plano.

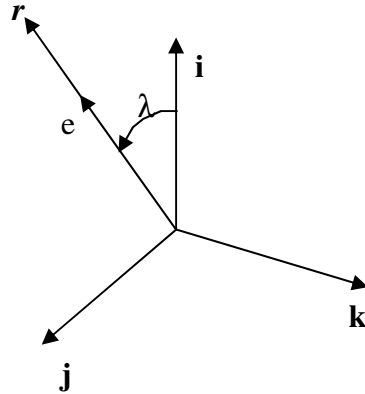


Figura 2.7. Representação da parte vetorial de  $r$  e sua relação com o triedro  $(\mathbf{i}, \mathbf{j}, \mathbf{k})$ .

Ou seja, adotando  $V(q) = \mathbf{i}$ , a representação vetorial de  $\mathbf{j}$  é ortogonal a  $\mathbf{i}$  e está no mesmo plano de  $\mathbf{i}$  e  $\mathbf{e}$

Conforme representado na figura,  $\mathbf{e}$  pode ser expresso por :

$$\mathbf{e} = i \cos \lambda + j \sin \lambda$$

O operador “ $q$ ”, que vai “gitar” “ $r$ ”, é dado por:

$$q = \sqrt{N(q)} (\cos \theta + i \sin \theta)$$

Calculemos o resultado da operação:

$$r' = [\sqrt{N(q)} (\cos \theta + i \sin \theta)] \cdot [\sqrt{N(r)} \mathbf{e}] \cdot [\frac{1}{\sqrt{N(q)}} (\cos \theta - i \sin \theta)] =$$

$$[(\cos \theta + i \sin \theta)] \cdot [\sqrt{N(r)} (i \cos \lambda + j \sin \lambda)] \cdot [(\cos \theta - i \sin \theta)] =$$

$$\sqrt{N(r)} (\cos \theta + i \sin \theta) (i \cos \lambda + j \sin \lambda) (\cos \theta - i \sin \theta) =$$

$$r' = \sqrt{N(r)} \mathbf{e}' = \sqrt{N(r)} [i \cos \lambda + j \cos 2\theta \sin \lambda + k \sin 2\theta \sin \lambda]$$

, cujas componentes são as projeções do novo vetor nos eixos  $\mathbf{i}, \mathbf{j}, \mathbf{k}$ , conforme a figura 2.8.

O vetor  $e'$  é, portanto, o resultado da rotação de  $e$  em torno de  $i$  de um ângulo  $2\theta$ .

Uma outra interpretação pode ser dada para o resultado acima. Suponha que houvesse um sistema de coordenadas, “ $x', y', z'$ ”, solidário ao vetor  $e$ . Ou seja, ele acompanharia o vetor conforme esse girasse. Para esse sistema, o vetor tem sempre as mesmas componentes:  $\cos\theta i, \sin\theta j, 0k$ . Em relação ao sistema original (fixo), vamos chama-lo de “ $X, Y, Z$ ”, teríamos  $X = x', Y = y' \cos 2\theta, Z = y' \sin 2\theta$ .

Portanto, a expressão anterior representa a transformação do sistema móvel (que girou  $2\theta$ ) em relação ao fixo (coordenadas  $X, Y, Z$ , em função de  $x', y'$  e  $z'$ ).

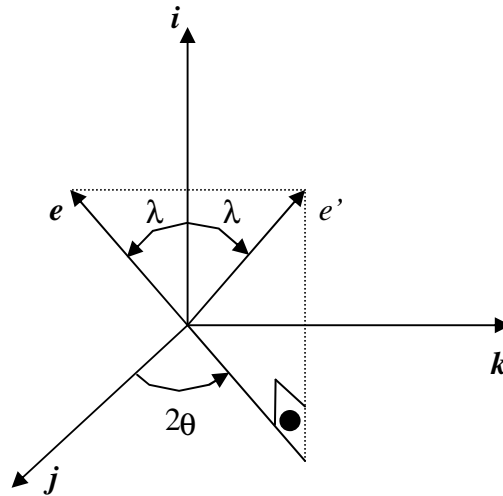


Figura 2.8. Rotação do vetor  $e$  em torno de  $i$ .

Podemos estender o resultado anterior utilizando  $a$  e  $b$ , quaternions de partes escalar nula e norma unitária.

Sendo

$$p = \cos \frac{\alpha}{2} + a \sin \frac{\alpha}{2}$$

$$q = \cos \frac{\beta}{2} + b \sin \frac{\beta}{2}$$

quaternions unitários que operam rotações de  $\alpha$  em torno de  $a$  e  $\beta$  em torno de  $b$ . A seqüência de rotações (usando a propriedade d))

$$qp(\cdot)p^{-1}q^{-1} = qp(\cdot)(qp)^{-1} = qp(\cdot)C(qp)$$

representa uma única rotação  $qp(\cdot)$  dada pelo quaternion  $qp = \cos \frac{\gamma}{2} + c \sin \frac{\gamma}{2}$ . Para verificar esta afirmação, basta substituir  $p$  e  $q$  por suas definições na expressão acima, e realizar alguma manipulação trigonométrica.

Ou seja, a seqüência de rotações “ $q$ ” e “ $p$ ” é equivalente a uma rotação de  $\gamma$  em torno de  $c$ . Pode-se

generalizar esse resultado p/ uma sucessão qualquer de rotações  $q_1, q_2, q_3 \dots q_n$ .

A aplicação desses resultados na cinemática dos sólidos é evidente. Tomando  $V(r)$  como representando o vetor posição de um dos pontos do sólido que realiza uma rotação de  $\theta$ . O quaternion “ $q$ ” opera uma rotação em torno da direção de  $\vec{e}$ , equivalente vetorial do quaternion, conforme a representação indicada na figura 2.9. O sentido positivo da rotação é indicado pelo sentido de  $\vec{e}$  através da regra da mão direita. Ou seja,

$$q = q_0 \left( \cos \frac{\theta}{2} + \vec{e} \operatorname{sen} \frac{\theta}{2} \right) =$$

$$= \cos \frac{\theta}{2} + \vec{e} \operatorname{sen} \frac{\theta}{2};$$

onde

$$\vec{e} = \frac{i q_2 + j q_3 + k q_4}{\sqrt{q_2^2 + q_3^2 + q_4^2}} = \cos \alpha_x i + \cos \alpha_y j + \cos \alpha_z k$$

$\vec{e}$

$$\vec{e} = \cos \alpha_x \vec{i} + \cos \alpha_y \vec{j} + \cos \alpha_z \vec{k}$$

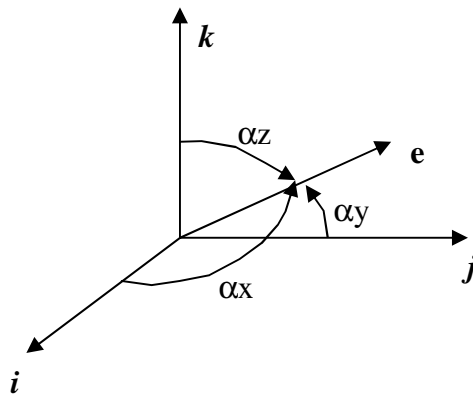


Figura 2.9 Representação do versor  $e$ , em torno do qual o sólido realiza a rotação.

Assim, o vetor  $r$  é transformado no vetor  $r'$  a partir da rotação de  $\theta$  em torno do eixo de rotação  $e$ , conforme a expressão

$$r' = q r q^{-1}$$

onde,

$$q = \left( \cos \frac{\theta}{2}, \cos \alpha_x \operatorname{sen} \frac{\theta}{2}, \cos \alpha_y \operatorname{sen} \frac{\theta}{2}, \cos \alpha_z \operatorname{sen} \frac{\theta}{2} \right) = e_o + ie_1 + je_2 + ke_3$$

Este resultado é uma expressão do Teorema de Euler, o qual afirma que, qualquer que seja a seqüência de rotações, que leva um sistema de coordenadas a outro, existe um eixo em torno do qual uma única rotação leva o sistema original ao sistema final.

O quaternion acima é conhecido como "quaternion de Euler" e  $e_o$ ,  $e_1$ ,  $e_2$  e  $e_3$  são os "parâmetros de Euler".

Sejam  $r=(0,X,Y,Z)$ , as coordenadas do vetor no sistema fixo, e  $r'=(0,X',Y',Z')$ , as novas coordenadas do vetor após girar, nesse mesmo sistema fixo.

A operação  $r'=qrq^{-1}$  fornece

$$\begin{bmatrix} X' \\ Y' \\ Z' \end{bmatrix} = \begin{bmatrix} e_1^2 - e_2^2 - e_3^2 + e_o^2 & 2(e_1e_2 - e_o e_3) & 2(e_1e_3 + e_o e_2) \\ 2(e_1e_2 + e_o e_3) & -e_1^2 + e_2^2 - e_3^2 + e_o^2 & 2(e_2e_3 - e_o e_1) \\ 2(e_1e_3 - e_o e_2) & 2(e_2e_3 + e_o e_1) & -e_1^2 - e_2^2 + e_3^2 + e_o^2 \end{bmatrix} \begin{bmatrix} X \\ Y \\ Z \end{bmatrix}$$

Lembre, conforme interpretamos anteriormente para o primeiro exemplo (figura 2.9), que o resultado acima pode ser visto como uma relação entre o sistema móvel (que a companhia  $r$ ) e o sistema fixo. Ou seja, a matriz acima representa a transformação de coordenadas:

$$\begin{bmatrix} X \\ Y \\ Z \end{bmatrix} = \begin{bmatrix} e_1^2 - e_2^2 - e_3^2 + e_o^2 & 2(e_1e_2 - e_o e_3) & 2(e_1e_3 + e_o e_2) \\ 2(e_1e_2 + e_o e_3) & -e_1^2 + e_2^2 - e_3^2 + e_o^2 & 2(e_2e_3 - e_o e_1) \\ 2(e_1e_3 - e_o e_2) & 2(e_2e_3 + e_o e_1) & -e_1^2 - e_2^2 + e_3^2 + e_o^2 \end{bmatrix} \begin{bmatrix} x \\ y \\ z \end{bmatrix}$$

Chegamos então à matriz de rotação em termos dos parâmetros de Euler. Cada elemento da matriz acima é igual aos cossenos diretores correspondentes entre os eixos  $(x,y,z)$  e  $(X,Y,Z)$ .

A variação dos "parâmetros de Euler" com o tempo pode ser calculada a partir da expressão da derivada da matriz de cossenos diretores, da relação entre os cossenos e os parâmetros de Euler e da identidade

$$e_o^2 + e_1^2 + e_2^2 + e_3^2 = 1$$

A expressão obtida é:

$$\begin{bmatrix} \dot{e}_0 \\ \dot{e}_1 \\ \dot{e}_2 \\ \dot{e}_3 \end{bmatrix} = 1/2 \begin{bmatrix} e_0 & -e_1 & -e_2 & -e_3 \\ e_1 & e_0 & -e_3 & e_2 \\ e_2 & e_3 & e_0 & -e_1 \\ e_3 & -e_2 & e_1 & e_0 \end{bmatrix} \begin{bmatrix} 0 \\ \omega_x \\ \omega_y \\ \omega_z \end{bmatrix};$$

onde,  $\omega_x, \omega_y$  e  $\omega_z$  são os componentes da velocidade angular do referencial móvel (velocidade de arrastamento) expressas nos eixos deste mesmo referencial.

Outra forma de representação, que envolve quaternions, pode ser obtida a partir dos parâmetros de Euler. Se dividirmos os parâmetros por  $\cos \frac{\theta}{2}$ , obteremos o escalar “1” no lugar de  $e_0$  e os seguintes resultados no lugar dos demais parâmetros:

$$g_1 = tg \frac{\theta}{2} \cos \alpha_x$$

$$g_2 = tg \frac{\theta}{2} \cos \alpha_y$$

$$g_3 = tg \frac{\theta}{2} \cos \alpha_z$$

Estes parâmetros são conhecidos como “parâmetros de Rodriguez”, que podem ser usados para formar as matrizes de relação entre sistemas de coordenadas e variação com o tempo apresentadas anteriormente. São elas:

$$\begin{bmatrix} x' \\ y' \\ z' \end{bmatrix} = \begin{bmatrix} 1 + g_1^2 - g_2^2 - g_3^2 & 2(g_1g_2 + g_3) & 2(g_1g_3 - g_2) \\ 2(g_1g_2 - g_3) & -g_1^2 + g_2^2 - g_3^2 + 1 & 2(g_2g_3 + g_1) \\ 2(g_1g_3 + g_2) & 2(g_2g_3 - g_1) & -g_1^2 - g_2^2 + g_3^2 + 1 \end{bmatrix} \begin{bmatrix} x \\ y \\ z \end{bmatrix}$$

e

$$\begin{bmatrix} \dot{g}_1 \\ \dot{g}_2 \\ \dot{g}_3 \end{bmatrix} = \frac{1}{2} \begin{bmatrix} 1 + g_1^2 & g_1g_2 + g_3 & g_1g_3 - g_2 \\ g_1g_2 - g_3 & g_2^2 + 1 & g_2g_3 + g_1 \\ g_1g_3 + g_2 & g_2g_3 - g_1 & g_3^2 + 1 \end{bmatrix} \begin{bmatrix} g_1 \\ g_2 \\ g_3 \end{bmatrix}$$

ou, definindo a matriz **G** por

$$\mathbf{G} = \begin{bmatrix} 0 & g_3 & -g_2 \\ -g_3 & 0 & g_1 \\ g_2 & -g_1 & 0 \end{bmatrix}$$

, podemos expressar as derivadas dos parâmetros de Rodriguez através de:

$$\dot{\mathbf{G}} = \frac{1}{2}(\mathbf{I} + \mathbf{G})\Omega(\mathbf{I} - \mathbf{G})$$

, onde  $\Omega$  é a matriz de velocidade angular, já definida.